

впадает со старшим членом асимптотики в [2]. Пренебрегая в (5.10) младшими членами, получим

$$u^2 = \frac{2-n}{1 - \left(\frac{\gamma u^2}{n-1}\right)^{\frac{2-n}{n-1}} \Gamma\left(\frac{2n-3}{n-1}\right)}.$$

Решая это трансцендентное уравнение относительно u^2 методом последовательных приближений, найдем

$$(5.11) \quad u^2 \sim \frac{2-n}{1 - \gamma^{\frac{2-n}{n-1}} \left(\frac{2-n}{n-1}\right)^{\frac{2-n}{n-1}} \Gamma\left(\frac{2n-3}{n-1}\right) \frac{1}{(1-\gamma^{2-n})^{2-n}}}.$$

Выражение (5.11) дает равномерную асимптотику при $n \rightarrow 2$ и два старших члена неравномерной асимптотики при $3/2 < n < 2$.

ЛИТЕРАТУРА

1. Вильямс Ф. А. Теория горения.— М.: Наука, 1971.
2. Берман В. С., Рязанцев Ю. С. Асимптотический анализ распространения фронта экзотермической одноступенчатой реакции n -го порядка в конденсированной фазе // ФГВ.— 1975.— № 1.
3. Галкина В. Н., Любченко В. И., Марченко Г. Н. О скорости распространения волны горения в конденсированной среде // ДАН СССР.— 1986.— Т. 286, № 2.
4. Худяев С. И. К асимптотической теории стационарной волны горения // Хим. физика.— 1987.— № 5.
5. Худяев С. И., Ильин А. М. Об асимптотике стационарной волны горения в конденсированной среде // Хим. физика.— 1989.— № 4.
6. Вольперт В. А., Вольперт В. А., Давтян Д. С. Оценка скорости волны горения в конденсированной среде.— Черноголовка, 1988.— (Препр./АН СССР, Отд-ние ин-та хим. физики).

г. Черноголовка

Поступила 20/IV 1989 г.

УДК 534.2:532.11

A. N. Богданов, B. A. Куликовский

РАСПРОСТРАНЕНИЕ НЕСТАЦИОНАРНЫХ СЛАБЫХ УДАРНЫХ ВОЛН В КОЛЕБАТЕЛЬНО-НЕРАВНОВЕСНОМ ГАЗЕ, ПОДВЕРЖЕННОМ ДЕЙСТВИЮ ВНЕШНЕГО ИЗЛУЧЕНИЯ

В газе с неравновесным распределением энергии по внутренним степеням свободы, поддерживаемым химическими реакциями, внешним облучением, электрическими разрядами и т. п., звуковые волны могут усиливаться [1—4]. Это приводит к возрастанию роли нелинейных эффектов и к образованию ударных волн (УВ) [5—7]. Процессы возникновения и распространения УВ представляют значительный интерес, так как их появление в активной среде газовых лазеров может приводить к срыву генерации [8], а в плазмотронах — к существенному снижению эффективности химических реакций [9].

В настоящей работе рассмотрены вопросы распространения слабых нестационарных возмущений в газе при наличии накачки энергии в колебательные степени свободы молекул, найдены условия образования УВ и законы ее эволюции со временем. Особое внимание удалено практически важному случаю переменного фона. Получено решение задачи о развитии нелинейного стационарного возмущения сверхзвукового потока колебательно-неравновесного газа при подводе энергии во внутренние степени свободы в слое конечной ширины. Рассмотрены достаточно короткие волны, время взаимодействия которых с частицами газа много меньше характерного времени релаксации («квазизамороженное приближение»). Длинные волны, для которых наличие релаксационного процесса эквивалентно дополнительной объемной вязкости, а основным математическим аппаратом является уравнение Бюргерса («квазиравновесное приближение»), изучены в [7, 10].

Одномерные течения газа при наличии накачки энергии в колебательные степени свободы описываются системой уравнений

$$\begin{aligned} \frac{dp}{dt} + \rho \frac{\partial u}{\partial x} + \frac{v\rho u}{x} &= 0, \quad \frac{du}{dt} + \frac{1}{\rho} \frac{\partial p}{\partial x} = 0, \quad \frac{dp}{dt} - a^2 \frac{d\rho}{dt} = \rho(\gamma - 1)F, \\ \frac{de_k}{dt} &= I - F, \quad F = \kappa I - \omega(e_k^* - e_k), \quad 0 \leq \kappa \leq 1, \quad \frac{d}{dt} = \frac{\partial}{\partial t} + u \frac{\partial}{\partial x}. \end{aligned}$$

Здесь p , ρ и u — давление, плотность и скорость газа; $a^2 = \gamma p/\rho$; γ — «замороженный» показатель адиабаты; e_k — удельная энергия колебательных степеней свободы; $v = 0,1$ для плоских, осесимметричных течений газа; $I = I(t)$ — удельная мощность внешнего источника энергии, обусловленного, например, облучением; $\kappa = \text{const}$. Для равновесного значения колебательной энергии e_k^* и обратного времени релаксации ω примем соотношения, соответствующие гармоническому осциллятору [11]:

$$(1) \quad e_k^* = \theta_k R / (\exp(\theta_k/T) - 1), \quad \omega = k_1 p \exp(-k_2 T^{-1/3})$$

(R — газовая постоянная, T — температура поступательных степеней свободы, θ_k — характеристическая колебательная температура, k_1 и k_2 — размерные положительные постоянные, зависящие от свойств газа, конкретные значения которых имеются в [11]).

Рассмотрим задачу о распространении звукового импульса произвольного профиля в покоящемся однородном газе. Состояние газа будет меняться со временем под действием внешнего излучения в соответствии с системой

$$(2) \quad \frac{\partial p^0}{\partial t} = \rho^0(\gamma - 1)F^0, \quad e_k^0 = e_{k0}^0 - \frac{p^0 - p_0^0}{(\gamma - 1)\rho^0} + \int_0^t I(\xi) d\xi.$$

Здесь и далее верхним индексом нуль отмечены параметры, описывающие невозмущенное состояние газа (фон), а индексом нуль внизу — начальные данные при $t = 0$. Исходную систему уравнений перепишем в характеристической форме

$$(3) \quad \begin{aligned} \frac{d_{1,2}}{dt} \left(u \pm \int \frac{dp}{\rho a} \right) &= \pm(\gamma - 1) \frac{F}{a} \mp \frac{vau}{x}, \quad \frac{d_{1,2}x}{dt} = u \pm a, \\ \frac{d_3}{dt} \left(p - \int a^2 d\rho \right) &= \rho(\gamma - 1)F, \quad \frac{d_3}{dt} e_k = I - F, \quad \frac{d_3 x}{dt} = u. \end{aligned}$$

Решение будем искать в виде $u = u(x, t)$, $p = p^0(t) + p'(x, t)$, ... (штрихом отмечены возмущения параметров газа). Волну возмущения примем достаточно короткой, так что в возмущенной зоне выполнены те же соотношения, что и на слабой УВ [12, 13]:

$$(4) \quad p' = \rho^0 a^0 u', \quad a^0 \rho' = \rho^0 u', \quad e_k' = 0.$$

Физический смысл приближения (4) состоит в том, что при прохождении короткой волны можно пренебречь влиянием порожденных ею отраженных волн — акустической второго семейства, энтропийной и волной, связанной с возбуждением внутренних степеней свободы. Действительно, амплитуды отраженных волн пропорциональны временам прохождения ими возмущенной зоны, т. е. величинам $\lambda/2a^0$ и λ/a^0 соответственно (λ — длина волны). Линеаризуя уравнения (3), нетрудно оценить поправки порядка λ к формулам (4) и связанные с этими поправками члены порядка λ в первом уравнении системы (3) при выборе в нем верхнего знака (см. [14]). Требование малости поправок, связанных с учетом конечности λ по сравнению с членами, не содержащими λ , приводит к системе неравенств, которую можно рассматривать как критерий «короткости» волн.

Опуская верхний индекс нуль, получим

$$(5) \quad \left| \left[\frac{\gamma-2}{2} F + \gamma \omega (e_k^* - e_k) - \frac{va^3}{x(\gamma-1)} \right] \left[(\gamma-1) \kappa I - \frac{\gamma-2}{2} F + A \right] \frac{\gamma}{a^2} + \right. \\ \left. + \omega \left(A - \frac{\gamma-2}{2} F \right) \right| \ll \frac{a}{\lambda} \left| A + \frac{va^3}{x(\gamma-1)} \right|, \quad \left| \frac{\gamma-1}{a^2} A + \frac{va}{x} \right| \ll \frac{4a}{\lambda}, \\ \left| \frac{\gamma}{2} F + A \right| \ll \frac{\varepsilon^3}{\gamma \lambda}, \\ A(t) = \omega \left\{ (e_k^* - e_k) \left[\gamma + (\gamma-1) \frac{k_2}{3T^{1/3}} \right] + \gamma(\gamma-1) \left(\frac{e_k^*}{a} \right)^2 \exp \frac{\theta_k}{T} \right\} + \frac{\gamma-2}{2} F.$$

Подставляя (4) в первое уравнение (3) при выборе в нем верхнего знака и интегрируя, имеем

$$(6) \quad u'(x_0, t) = u'_0(x_0) \left(\frac{x_0}{x} \right)^{\gamma/2} \varphi(t), \quad x^\varepsilon(x_0, t) = x_0 + \int_0^t a^0(\xi) d\xi, \\ \varphi(t) = \exp \left(- \int_0^t \frac{\gamma-1}{2a^{02}} A(\xi) d\xi \right).$$

Решение записано в параметрической форме; $x^0(x_0, t)$ — уравнение акустических характеристик первого семейства, соответствующих фону; $u'_0(x_0) = u'(x_0, 0)$. Скорость газа в волне u' остается малой при условии $\varphi(t)(x_0/x^0)^{\gamma/2} \sim 1$. Если выполняется неравенство $A(t) \geq 0$ ($t > 0$), возмущения не нарастают. Это неравенство, являющееся ограничением на параметры фона, можно считать достаточным условием устойчивости исходного состояния газа по отношению к возмущениям рассматриваемого типа. Величина $dt/d\varphi$ имеет смысл характерного времени затухания плоской волны.

Учтем нелинейные эффекты, возникающие при распространении волны, сохранив в уравнении акустических характеристик члены первого порядка малости:

$$(7) \quad dx/dt = a^0 + (\gamma + 1)u'/2.$$

Подставляя (6) в (7) и интегрируя, получим

$$(8) \quad x(x_0, t) = x_0 + \int_0^t a^0(\xi) d\xi + u'_0(x_0) X(x_0, t), \\ X = \frac{\gamma+1}{2} \int_0^t \left(\frac{x_0}{x^0(x_0, \xi)} \right)^{\gamma/2} \varphi(\xi) d\xi.$$

Уравнение огибающей семейства характеристик (8) $\partial x / \partial x_0 = 0$ может быть записано в виде

$$(9) \quad 1 + (du'_0/dx_0) X(x_0, t) = 0$$

(в случае цилиндрической волны предполагалось, что характеристическая длина волны много меньше расстояния от фронта волны до оси симметрии). Минимальное значение t , удовлетворяющее (9), отвечает моменту возникновения УВ, а соответствующее значение x_0 — начальной точке характеристики, на которой образуется УВ.

Как показано в [5—7], не во всех случаях возмущение сжатия, распространяющееся в колебательно-неравновесном газе, образует УВ. Действительно, если интеграл X , введенный в (8), сходится при $i \rightarrow \infty$, то для образования УВ необходимо, чтобы начальный профиль $u'_0(x_0)$

содержал участки значительного убывания:

$$(10) \quad \frac{du'_0}{dx_0} < -\lim_{t \rightarrow \infty} \frac{1}{X}.$$

Если начальный профиль не имеет таких участков, то УВ не возникает. В случае, когда интеграл X расходится при $t \rightarrow \infty$, любая волна сжатия порождает УВ.

Следует подчеркнуть, что, задав наперед произвольным образом поведение функции $X(t)$ или $\phi(t)$, всегда можно подобрать отвечающую этому поведению мощность внешнего излучения $I = I(t)$. Действительно, задание функции $A(t)$, через которую выражаются X и ϕ , с учетом уравнений (3) приводит к системе двух обыкновенных дифференциальных уравнений относительно $p^0(t)$ и интеграла от $I(t)$, удовлетворяющей условиям теоремы существования и единственности.

Траекторию УВ в различные моменты времени будут пересекать различные характеристики. Совокупность их начальных точек x_0 можно рассматривать как лагранжеву систему координат, связанную с характеристиками. Если для каждого t указать начальную точку x_0 характеристики, пересекающей в этот момент времени траекторию УВ, получится закон движения УВ $x_0(t)$ в системе координат, связанной с характеристиками. Подстановка вместо x_0 закона $x_0 = x_0(t)$ в (6) и (7) позволяет найти текущую амплитуду разрыва $[u'](t)$ и закон его движения $x = x_s(t)$. Зависимость $x_0(t)$ выводится из уравнения

$$(11) \quad (\partial x / \partial x_0) / (dx_0 / dt) + \partial x / \partial t = D.$$

Здесь D — скорость УВ, равная полусумме характеристических скоростей за и перед разрывом [15]; $\partial x / \partial t$ определяется равенством (7), а $\partial x / \partial x_0$ — равенством (8). Подставляя в (11) выражения для D , $\partial x / \partial t$ и $\partial x / \partial x_0$ и умножая на $u'_0(x_0)$, получим с принятой точностью уравнение в полных дифференциалах, решение которого имеет вид

$$(12) \quad 2 \int_{x_0}^{x_{02}} u'_0(\xi) d\xi = X(x_0, t) u'^2_0(x_0).$$

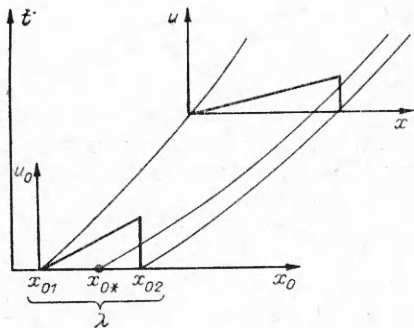
Равенство (12) есть в неявной форме закон движения УВ $x_0(t)$ в системе координат, связанной с характеристиками; $x_{02} = x_0(0)$. Конкретный вид функции $x_0(t)$ можно найти, задав в начальный момент времени форму профиля возмущения $u'_0(x_0)$, на которую в (12) не накладывается никаких ограничений.

Для примера рассмотрим возмущение, имеющее при $t = 0$ треугольный профиль: $u'_0 = k(x_0 - x_{01})$, $x_0 \leq x_{02}$, $k = \text{const}$ (рис. 1), в точке x_{02} находится разрыв с амплитудой $u'_0(x_{02})$. В случае $v = 1$ предположим, что длина волны $x_{02} - x_{01}$ много меньше расстояния до оси симметрии x_{01} , так что в множителе $(x_0/x^0)^{v/2}$, входящем в (6) и (8), можно не учитывать зависимость x_0 от t , полагая $x_0 = x_{02}$ (или $x_0 = x_{01}$), тогда $X = X(t)$. Находя из (12) функцию $x_0(t)$ и подставляя ее в (6) и (8), получим

$$(13) \quad x_s(t) = x_{01} + \int_0^t a^0(\xi) d\xi + \frac{x_{02} - x_{01}}{\sqrt{i + kX(t)}} + \frac{u'_0(x_{02}) X(t)}{\sqrt{i + kX(t)}} [1 + O(u'_0)];$$

$$(14) \quad [u'](t) = \left(\frac{x_{02}}{x_s} \right)^{v/2} \frac{u'_0(x_{02}) \Phi(t)}{\sqrt{i + kX(t)}} [1 + O(u'_0)].$$

Из (12)–(14) видно, что сходимость интеграла X при $t \rightarrow \infty$ играет решающую роль. Пусть в начальный момент времени $u'_0(x_0) > 0$ при $x_{01} < x_0 < x_{02}$ и $u'_0(x_{01}) = 0$. Если интеграл X сходится, то, согласно (12), $x_0(t) \rightarrow x_{0*} > x_{01}$ при $t \rightarrow \infty$. Это означает, что траектория УВ имеет асимптотикой характеристику, начинающуюся в точке x_{0*} . Асимпто-



Р и с. 1

тический (при $t \rightarrow \infty$) закон затухания УВ дает формула (6) после замены в ее правой части x_0 на x_{0*} . Таким образом, при больших t УВ с точностью до постоянного множителя ведет себя как акустическая (линейная) волна. Конкретное значение x_{0*} можно получить предельным переходом $t \rightarrow \infty$ из равенства (12). Для треугольного профиля

(15)

$$x_{0*} = x_{01} + (x_{02} - x_{01}) / \sqrt{1 + kX(\infty)}.$$

Если же при $t \rightarrow \infty$ интеграл X расходится, то никакая характеристика не может служить асимптотой для траектории УВ, причем закон затухания УВ качественно отличается от акустического (6). Длина профиля возмущения, примыкающего к разрыву, неограниченно возрастает, поэтому формулы (4)–(15) применимы в этом случае при не слишком больших t .

С помощью развитой выше теории можно описывать эволюцию плоской периодической волны, если ее полупериод λ удовлетворяет системе (5). Заметим, что длина полупериода такой волны не меняется [16], тогда как длина уединенной волны со временем растет. Если при $t = 0$ выполнено (10), то в дальнейшем в периодической волне образуются разрывы — волна приобретает пилообразную форму. В этом случае закон движения УВ в системе координат, связанной с характеристиками $x_0(t)$, определяется из равенства $x_{02} - x_0 = u'_0(x_0) X(t)$. В результате вместо (13), (14) будет

$$(16) \quad x_s(i) = x_{02} + \int_0^t a^0(\xi) d\xi, \quad [u'](t) = \frac{u'_0(x_{02}) \Phi(t)}{1 + kX(t)}.$$

Рассмотрим конкретные задачи, для которых благодаря некоторым упрощениям удается проинтегрировать систему уравнений для параметров фона (3) и найти поведение интеграла X при $t \rightarrow \infty$.

а) Пусть $I = I_0 = \text{const}$. После подстановки второго соотношения (3) в первое получается нелинейное дифференциальное уравнение относительно p , асимптотика решения которого при $t \rightarrow \infty$ имеет вид

$$(17) \quad p = \frac{\gamma - 1}{\gamma} \rho \left(I_0 t + e_{k_0} + \frac{R\theta_{k_0}}{2} + \frac{p_c}{\rho(\gamma - 1)} + O\left(\frac{1}{t}\right) \right).$$

Используя (16), из (2) и (3) найдем

$$\omega \sim k_1 \rho I_0 ((\gamma - 1)/\gamma) t, \quad e_{k_0}^* - e_{k_0} \sim O(1/t),$$

т. е. характерное время релаксации убывает при $t \rightarrow \infty$ как $1/t$, за счет чего газ стремится к равновесию, причем $e_{k_0}^* - e_{k_0}$ убывает быстрее, чем $1/t$. Для функции $\phi(t)$, описывающей поведение слабых возмущений в линейном приближении, получим асимптотику

$$(18) \quad \phi(t) \sim \exp \left[-\frac{(\gamma - 1)^2}{2\gamma^2} k_1 \rho \left(I_0 \frac{t^2}{2} - \frac{3}{5} \left(\frac{\gamma R I_0^2}{\gamma - 1} \right)^{1/3} t^{5/3} + O(t^{4/3}) \right) \right],$$

что существенно отличается от равновесного случая $I = 0$, когда $\phi(t) \sim \exp(-t \cdot \text{const})$, $t \rightarrow \infty$. В соответствии с (18) интеграл X , определяющий качественный характер поведения нелинейных возмущений, сходится при $t \rightarrow \infty$ как для плоских, так и для цилиндрических волн.

б) Рассмотрим поведение слабых возмущений в газе, у которого колебательные степени свободы приведены в возбужденное состояние $(e_{k_0} - e_{k_0}^*)$, а внешнее излучение отсутствует ($I = 0$). В дальнейшем,

за счет релаксации, давление и поступательная температура растут, колебательная энергия уменьшается. Предположим, что T достаточно велика, θ_k/T мало и в первом приближении можно считать $e_k^* = p/\rho$. Такое приближение применимо для ряда двухатомных газов при больших давлениях, когда значительно различие между характеристической колебательной температурой θ_k и температурой, при которой существенны процессы диссоциации [11]. Можно пренебречь зависимостью ω от $T^{1/3}$, считая $\omega = k_3 T$, $k_3 = \text{const}$, если диапазон изменения T не слишком велик. С учетом сделанных предположений система (3) интегрируется:

$$(19) \quad p(t) = p_0 \frac{1 + \delta}{1 + \delta \exp(-\alpha t)}, \quad \alpha = k_1 p_0 \gamma (1 + \delta), \quad \delta = \frac{(\gamma - 1)(e_{k_0} - e_{k_0}^*)}{\gamma e_{k_0}^*}.$$

Подставляя (19) в (6), имеем

$$(20) \quad \varphi(t) = \exp \left(-\frac{\alpha t}{2} \left(\frac{\gamma - 1}{\gamma} \right)^2 + \frac{3\gamma^2 - 2\gamma + 2}{4\gamma^2} \ln \left(\frac{1 + \delta}{1 + \delta \exp(-\alpha t)} \right) \right).$$

Первый сомножитель в (20) является возрастающей функцией времени, второй — убывающей. Функция $\varphi(t)$ убывает со временем, если $\delta \leq \delta_m = \frac{2(\gamma - 1)^2}{\gamma(\gamma + 2)}$, при $\delta > \delta_m$ она возрастает до момента $t = t_m$, определяемого равенством $t_m = \frac{1}{\gamma(1 + \delta)\omega_0} \ln \left(\delta \frac{\gamma(\gamma + 2)}{2(\gamma - 1)^2} \right)$, а затем убывает и при $t \rightarrow \infty$ стремится к нулю. На возможность усиления гармонических волн, распространяющихся в однородном газе с фиксированными параметрами, неравновесность которого поддерживается на постоянном уровне за счет сбалансированной накачки энергии во внутренние степени свободы и теплоотвода, указано в [1—4].

Подставляя значение t_m в (20) и раскладывая $\varphi(t_m)$ в ряд по малому параметру $(\gamma - 1)^2/(2\gamma^2)$, получим

$$(21) \quad \varphi(t_m) = 1 + \left(\frac{\delta}{\delta_m} - 1 \right) \frac{(\gamma - 1)^2}{2\gamma^2} + O \left(\frac{(\gamma - 1)^2}{2\gamma^2} \right).$$

Требование малости второго слагаемого в правой части (21) по сравнению с единицей можно рассматривать как критерий линейной устойчивости состояния колебательно-возбужденного газа по отношению к акустическим возмущениям. Этот критерий гласит, что исходная относительная неравновесность должна быть малой:

$$\frac{e_{k_0} - e_{k_0}^*}{e_{k_0}^*} \ll \frac{4\gamma^2}{(\gamma - 1)(2 + \gamma)} \left[1 + O \left(\frac{(\gamma - 1)^2}{2\gamma^2} \right) \right].$$

Для нелинейных возмущений с УВ интеграл X, согласно (20), сходится и для плоских, и для цилиндрических волн, поэтому траектория УВ имеет своей асимптотой характеристику, длина профиля возмущения, примыкающего к разрыву, ограничена при $t \rightarrow \infty$. Подчеркнем, что рост возмущений приводит к усилию нелинейных эффектов и быстрому образованию УВ, после чего для описания эволюции возмущения необходимо привлекать нелинейную теорию. Например, если в линейной постановке амплитуда плоской волны растет пропорционально t ($\varphi(t) \sim t$ при $t > 0$), то в нелинейной теории, согласно (14), амплитуда плоской волны с треугольным профилем остается малой, а амплитуда пилообразной волны, согласно (16), затухает как $1/t$.

Рассмотрим теперь плоские стационарные сверхзвуковые течения газа, допускающего возбуждение колебательных степеней свободы, мало отличающиеся от одномерных. Такие течения могут возникать, например, при обтекании с умеренно сверхзвуковой скоростью тонких тел под малым углом атаки или небольших неровностей стенок каналов. Координаты x, y выберем так, чтобы направление оси x совпадало с направлением

невозмущенного течения. Будем предполагать, что на некотором интервале $x_1 < x < x_2$ поток газа подсвечивается внешним излучением интенсивности $I(x)$, $I(x) = 0$ при $x \notin (x_1, x_2)$. Систему уравнений, описывающую сверхзвуковое плоское течение колебательно-релаксирующего газа, запишем в характеристической форме

$$(22) \quad v \frac{d_{\pm} u}{dx} - u \frac{d_{\pm} v}{dx} \mp \frac{\sqrt{M^2 - 1}}{\rho} \frac{d_{\pm} p}{dx} = \frac{F(\gamma - 1)}{u^2 - a^2} (\mp u \sqrt{M^2 - 1} - v),$$

$$\frac{d_{\pm} y}{dx} = \frac{uv \pm a^2 \sqrt{M^2 - 1}}{u^2 - a^2}, \quad \frac{d_0}{dx} \left(\frac{u^2 + v^2}{2} \right) + \frac{1}{\rho} \frac{d_0 p}{dx} = 0,$$

$$\frac{d_0 p}{dx} - a^2 \frac{d_0 e_k^0}{dx} = (\gamma - 1) \frac{\rho F}{u}, \quad u \frac{d_0 e_k^0}{dx} = I - F, \quad \frac{d_0 y}{dx} = \frac{n}{u}$$

(u и v — проекции скорости на оси x и y , M — местное число Маха; в отсутствие возмущений $v \equiv 0$). Первое уравнение системы (22) записано вдоль акустической характеристики первого или второго семейства, описываемой вторым уравнением (верхний знак соответствует характеристике первого семейства, а нижний — второго), следующие три уравнения записаны вдоль линий тока, подчиняющихся последнему уравнению.

Рассмотрим линейную задачу о стационарном возмущении сверхзвукового потока, сосредоточенном в узкой зоне ширины λ между двумя акустическими характеристиками первого семейства. Если λ достаточно мала, то возмущения подчиняются тем же соотношениям, что и на слабой косой УВ [17]:

$$(23) \quad u' + v \sqrt{M^{02} - 1} = 0, \quad \rho^0 u^0 u' + p' = 0, \quad p' - a^{02} \rho' = 0, \quad e'_k = 0$$

($v' \equiv v$, так как $v^0 = 0$). В линейном приближении фронт волны совпадает с характеристикой акустического семейства. Смысл приближения коротких волн состоит в том, что невязки в равенствах (23) пропорциональны заключенным в возмущенной зоне отрезкам характеристик системы (22) (акустической второй семейства и линии тока), т. е. невязки пропорциональны λ и малы, если λ достаточно мала.

Линеаризуя первое уравнение системы (22) при выборе в нем верхнего знака и подставляя в него (23), получим линейное дифференциальное уравнение, решение которого представимо в параметрическом виде, аналогичном (6):

$$(24) \quad u'(x, y_0) = u'_0(y_0) \exp \left(- \int_0^x \frac{\gamma - 1}{2a^{02}(\xi)} A_*(\xi) d\xi \right) \equiv u'_0(y_0) \varphi_*(x),$$

$$y = y^0(x, y_0) = y_0 + \int_0^x \frac{d\xi}{\sqrt{M^{02}(\xi) - 1}}, \quad y^0(0, y_0) \equiv y_0,$$

$$A_*(x) = \frac{\omega^0 M^0}{a^0 (M^{02} - 1)} \left((e_k^{*0} - e_k^0) \left[\frac{3(\gamma M^{02} + 1)}{2(M^{02} - 1)} + \frac{k_2(\gamma - 1)}{3T^{01/3}} \right] + \right.$$

$$\left. + \gamma(\gamma - 1) \left(\frac{e_k^{*0}}{a^0} \right)^2 \exp \frac{\theta_k}{T} - \frac{\kappa I (\gamma M^{02} + 2\gamma + 3)}{2\omega^0 (M^{02} - 1)} \right).$$

Здесь и далее индексом нуль внизу отмечены значения параметров при $x = 0$. Акустические характеристики первого семейства, на которых $u'_0 \neq 0$, проходят через точки отрезка $[y_{01}, y_{02}]$ оси y .

В (24) функции $M^0(x)$ и $A_*(x)$ выражаются через параметры невозмущенного течения, которые определяются соотношениями

$$(25) \quad \rho^0 u^0 = \rho_0 u_0, \quad p^0 + \rho^0 u^{02} = p_0 + \rho_0 u_0^2, \quad u^0 \frac{de_k^0}{dx} = (1 - \kappa) I + \omega^0 (e_k^{*0} - e_k^0),$$

$$\left(e_{\kappa}^0 - e_{\kappa_0}\right) + \frac{1}{2} \left(u^{02} - u_0^2\right) + \frac{a^{02} - a_0^2}{\gamma - 1} = \int_0^x \frac{I(\xi) d\xi}{u^0(\xi)}.$$

Заменой $u^0 = u_0(1 + \Delta)$ система (25) сводится к уравнению

$$(26) \quad \frac{d\Delta}{dx} = \frac{(\gamma - 1) \omega^0(\Delta) \left(e_{\kappa}^{+\circ}(\Delta) - e_{\kappa}^0(\Delta)\right) - \kappa I}{a_0^2 u^0(\Delta) (M_c^2 + M_0^2 (\gamma + 1) \Delta - 1)}.$$

При обращении в нуль знаменателя в правой части (26) текущее значение числа Маха $M^0(x)$ невозмущенного потока становится равным единице. Будем считать течение всюду сверхзвуковым ($M^0(x) > 1$), соответственно $\Delta > - (M_0^2 - 1) / ((\gamma + 1) M_0^2)$, то отвечает не слишком большим значениям энергии, подводимой к газу на интервале (x_1, x_2) , и выполняется во всех практических интересных случаях. Учитывая в уравнении акустических характеристик члены первого порядка малости, имеем

$$(27) \quad \frac{dy}{dx} = \frac{1}{\sqrt{M^{02} - 1}} - \frac{M^{03}(\gamma + 1)}{2a_0^0(M^{02} - 1)^{3/2}} u'(x, y_0).$$

После подстановки в (27) соотношений (23) и интегрирования получим

$$(28) \quad y(x, y_0) = y^0(x, y_0) + u'_0(y_0) X_*(x), \quad X_*(x) = -\frac{\gamma + 1}{2} \int_0^x \frac{M^{03}(\xi) \varphi(\xi) d\xi}{a^0(\xi) (M^{02}(\xi) - 1)^{3/2}}.$$

Ударная волна возникает в точке пересечения характеристик (28), которая определяется условием $dy/dy_0 = 0$, что с учетом (28) можно переписать подобно (9):

$$(29) \quad 1 + (du'_0/dy_0) X_*(x) = 0.$$

Поскольку газ подвергается излучению лишь при $x_1 < x < x_2$, то с увеличением x состояние газа приближается к равновесному, функция φ_* убывает при $x \rightarrow \infty$ по экспоненциальному закону, а интеграл X сходится. В связи с этим, согласно (29), стационарное возмущение, накладываемое на сверхзвуковой поток, содержит УВ лишь тогда, когда профиль начального возмущения $u'_0(y_0)$ имеет участки значительного возрастания:

$$(30) \quad \frac{du'_0}{dy_0} > - \lim_{x \rightarrow \infty} \frac{1}{X_*} > 0.$$

Если (30) не выполнено, УВ отсутствуют. Это, в частности, означает, что обтекание вогнутой стенки достаточно малой кривизны сверхзвуковым потоком колебательно-релаксирующего газа происходит без образования УВ (рис. 2).

Зависимость амплитуды УВ от x находится так же, как в нестационарном случае. Именно, уравнение УВ $y_0 = y_0(x)$ в лагранжевой системе координат y_0 , связанной с характеристиками первого семейства, можно получить из уравнения, аналогичного (11):

$$(31) \quad (\partial y / \partial y_0) (dy_0 / dx) + \partial y / \partial x = D_*$$

($\partial y / \partial x$ и $\partial y / \partial y_0$ определяются из (28), D_* — полусумма характеристических скоростей за и перед разрывом). Умножим (31) на $u'_0(y_0)$ и проинтегрируем:

$$(32) \quad 2 \int_{y_0}^{y_{02}} u'_0(\xi) d\xi = X_*(x) u'^2_0(y_0).$$

При выводе (32) предполагалось, что перед УВ возмущения равны нулю: $u'_0 = 0$ при $y_0 > y_{02}$ (y_{02} — координата УВ при $x = 0$). Разрешая (32)

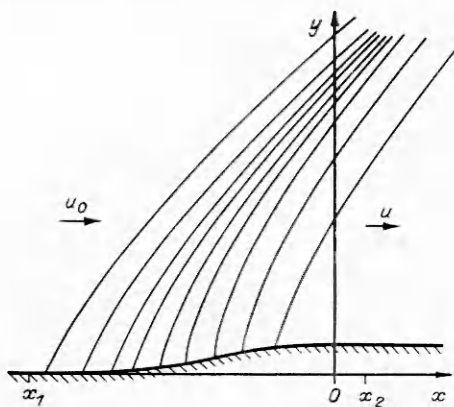


Рис. 2

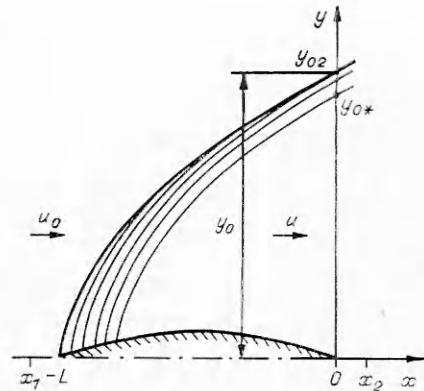


Рис. 3

относительно y_0 и подставляя результат вместо y_0 в (28) и в первое равенство (24), получим уравнение УВ $y_s(x) = y(x, y_0(x))$ и закон изменения ее амплитуды $[u'](x) = u'_0(y_0(x)) \varphi_*(x)$. Поскольку интеграл X_* сходится при $x \rightarrow \infty$, то, согласно (32), УВ имеет своей асимптотой акустическую характеристику первого семейства, начальную точку которой $y_{0*} = y_0(\infty) < y_{02}$ можно определить из (32) предельным переходом $x \rightarrow \infty$, задав предварительно начальную форму профиля возмущений $u'_0(y_0)$.

Рассмотрим стационарное сверхзвуковое обтекание тонкого контура, симметричного относительно оси x , в начальной точке которого имеется присоединенная УВ, а возмущения, вносимые контуром в поток, линейны по y_0 : $u'_0(y_0) = h_* y_0$, $y_0 \leq y_{02}$ (рис. 3). Разрешая (32) относительно y^0 и подставляя полученную функцию $y_0(x)$ в (24), (28), имеем

$$(33) \quad [u'](x) = \frac{u'_0(y_{02}) \varphi_*(x)}{\sqrt{1 + k_* X_*(x)}}, \quad y_s(x) = y^0(x, y_{02}) + \frac{u'_0(y_{02}) X_*(x)}{\sqrt{1 + k_* X_*(x)}}.$$

Возьмем в качестве примера частный случай, когда $I \equiv 0$ при $x > -L$ в сечении $x = -L$, колебательные степени свободы возбуждены, температура и давление газа достаточно велики, так что в первом приближении можно принять $e_{\text{r}}^* = p/\rho$, $\omega = k_3 p$. Тогда, произведя в (24) замену переменной интегрирования с помощью (26), получим

$$\begin{aligned} \ln \varphi_* = -\frac{M_0^2}{2} \int_0^\Delta \left(\frac{3(\gamma M_0^2 + 1) d\xi}{2(M_0^2 - 1 + (\gamma + 1) M_0^2 \xi)(1 - \gamma M_0^2 \xi)} + \right. \\ \left. + \frac{(\gamma - 1)^2 (1 + \xi) d\xi}{\xi \left(2\gamma - 1 - \gamma^2 M_0^2 - \frac{3\gamma - 1}{2} \gamma M_0^2 \xi \right) - \gamma \delta} \right). \end{aligned}$$

Если $\delta \leq \delta_m^* = 2(\gamma - 1)^2 (M_0^2 - 1) / (3\gamma^2 M_0^2 + 3\gamma)$, то φ_* убывает с увеличением x , если же $\delta > \delta_m^*$, то φ_* возрастает до значения φ_{*m} , а затем начинает убывать. В этом случае

$$(34) \quad \varphi_{*m} = 1 + \left(\frac{\delta}{\delta_m} - 1 \right) \frac{(\gamma - 1)^2 M_0^2}{2(\gamma^2 M_0^2 + 1 - 2\gamma)} + O((\gamma - 1)^4).$$

Малость второго слагаемого в (34) по сравнению с первым можно рассматривать как критерий линейной устойчивости.

Заметим, что возмущение, содержащее разрывы и растущее с точки зрения линейной теории, может в нелинейном приближении оказаться затухающим. Например, при $\varphi_* \sim x$ амплитуда УВ, согласно (33), остается малой.

Авторы выражают благодарность В. А. Левину за внимание к работе.

ЛИТЕРАТУРА

1. Bauer H. I., Bass H. E. Sound amplification from controlled exitation reactions / Phys. Fluids.— 1973.— V. 16, N 7.
2. Srinivasan I., Vincenti W. G. Criteria for acoustic instability in a gas with ambient vibrational and radiative nonequilibrium // Phys. Fluids.— 1975.— V. 18, N 12.
3. Коган Е. Я., Мальнев В. И. Распространение звука в колебательно-возбужденном газе // ЖТФ.— 1977.— Т. 47, № 3.
4. Осинов А. И., Уваров А. В. Распространение звука в колебательно-неравновесном газе // Вестн. МГУ. Сер. 3. Физика. Астрономия.— 1984.— Т. 25, № 6.
5. Кириллов И. А., Рusanov B. D., Fridman A. A. Формирование ударных волн в потоке колебательно-неравновесного газа // ЖХФ.— 1985.— Т. 4, № 1.
6. Богданов А. Н. Асимптотические законы распространения слабых нелинейных волн в релаксирующем газе при воздействии внешнего излучения // Вестн. МГУ. Сер. 1. Математика. Механика.— 1985.— № 6.
7. Осинов А. И., Уваров А. В. Распространение нелинейных гидродинамических возмущений в колебательно-неравновесном газе // ЖХФ.— 1987.— Т. 6, № 3.
8. Веденов А. А., Дробязко С. В., Книжников В. Н., Турундаевский В. Б. Влияние акустических волн, возникающих в разрядном промежутке, на работу импульсного CO₂-лазера в частотном режиме // ТВТ.— 1975.— Т. 13, вып. 2.
9. Рusanov B. D., Fridman A. A., Шолин Г. В. Физика химически активной плазмы с неравновесным колебательным возбуждением молекул // УФН.— 1981.— Т. 134, вып. 2.
10. Коган Е. Я., Молевич Н. Е. Коллапс акустических волн в неравновесном молекулярном газе // ЖТФ.— 1986.— Т. 56, вып. 5.
11. Неравновесные физико-химические процессы в аэродинамике/Под ред. Г. И. Майкапара.— М.: Машиностроение, 1972.
12. Губкин К. Е. Распространение разрывов в звуковых волнах // ПММ.— 1958.— Т. 22, вып. 2.
13. Рыжков О. С. Затухание ударных волн в неоднородных средах // ПМТФ.— 1961.— № 2.
14. Куликовский В. А. Асимптотические законы затухания слабых непрерывных и ударных волн в запыленном газе // Изв. АН СССР. МЖГ.— 1983.— № 3.
15. Lax P. D. Hyperbolic systems of conservation laws. II // Communs Pure Appl. Math.— 1957.— V. 10, N 4.
16. Узем Дж. Линейные и нелинейные волны.— М.: Мир, 1977.
17. Рыжков О. С. Затухание ударных волн в стационарных течениях // ПМТФ.— 1961.— № 6.

г. Москва

Поступила 26/I 1989 г.,
в окончательном варианте — 18/IV 1989 г.

УДК 534.232

И. А. Зайцева, А. А. Золотарев

РАСПРОСТРАНЕНИЕ И ЗАТУХАНИЕ ВОЛН В СЛОЕ, ГЕНЕРИРУЕМЫХ ПЛОСКИМ ИСТОЧНИКОМ

Для исследования процессов возбуждения акустических волн «непрозрачными» источниками, как правило, используются модели портня в экране (например, [1—3]). Это существенно упрощает математические проблемы, но на основе этих моделей представляется затруднительным описание эффектов, связанных с переотражениями волн в слоистых волноводах.

Настоящая работа посвящена развитию методики факторизации в приложении к решению начально-краевых задач для сжимаемой жидкости с заглушенным плоским «непрозрачным» источником. В отличие от [4, 5] исследуется пространственно-временная структура волновых полей в слое на основе численно-аналитического подхода. Выводится асимптотическое представление решения для нестационарных режимов излучения волн, изучается процесс установления гармонических колебаний.

Рассматривается задача о возбуждении волновых полей в слое сжимаемой жидкости плоским источником с заданным нестационарным законом колебаний

$$(1) \quad \nabla^2 \varphi_{\pm} = \partial^2 \varphi_{\pm} / \partial t^2, \quad -\infty < x_1, x_2 < \infty \quad (\mathbf{x} = (x_1, x_2) \in R_2),$$

$$p_{\pm} = -\partial \varphi_{\pm} / \partial t, \quad w_{\pm} = \partial \varphi_{\pm} / \partial z, \quad \nabla^2 = \partial^2 / \partial x_1^2 + \partial^2 / \partial x_2^2 + \partial^2 / \partial z^2;$$

$$(2) \quad z = 1 \quad \partial \varphi_{\pm} / \partial t = 0,$$